

II-10 洪水の到達時間に関する2, 3の考察

九州大学工学部 正員。平野宗夫
鴻、池組、中島達郎

1. まえがき

降水の流出過程において、到達時間は洪水形状を規定する主要な要素の一つである。筆者らは前報¹⁾において到達時間の分布を考慮した流出解析の式を導いて、到達時間の概念を明らかにするとともに、実測資料から到達時間を逆算する方法を提案した。本文においては、まずこの方法を市街化された流域と自然状態の流域に適用して両者の違いを検討し、次に、水田における貯留効果について到達時間の観察から若干の考察を行ふ。

0 500(m)

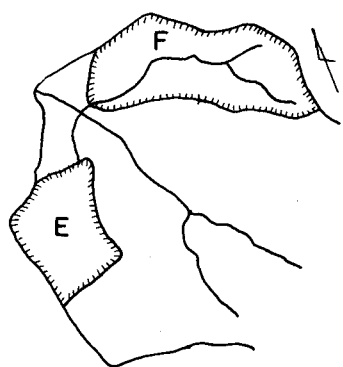


図-1 一の種流出現地

2. 到達時間の逆算

(1) 試験地の概要 対象とした流域は、大分川支川一つの灌川にあたる建設省一つの灌流実験地のうち、約2%が宅地化されていゝE流域（流域面積0.146 km²）と、ほとんどが山地であるF流域（流域面積0.255 km²）の2つである。

両流域の流出特性をみるために、総損失高とピーク流量をプロットすと図-2, 3のようになり、宅地化されたE流域では、保水量や浸透量が減少して損失量が少なくなっているおり、ピーク流量が増大していることがわかる。

(2) 到達時間の分布

到達時間の分布 $\Phi(T)$ を考慮した流出解析の式は¹⁾

$$f(t) = \int_0^\infty R(t, T) \Phi(T) dT \quad (1)$$

$$R(t, T) = \frac{\rho \int_0^T r_e(t-T) dT}{\int_0^T \{ \int_v^T r_e(t-T) dT \} / T dv} \quad (2)$$

$t = 12$ 、 T は到達時間、 r_e は有効降雨強度、 $\rho = 0.6$ 、 Φ は流出現率である。

上式に降雨と流量の実測値を適用し、Simplex 法を用いて $\Phi(T)$

を求めてプロットすと図-4

のようになる。つまり $R(t) \rightarrow 12$

となる。市街化されたE流域の方が到達時間は短いことがわかる。到達時間の中央値 T_{50} をみると、E流域では20~30分、F流域では50~100分程度となる。後者は前者の2~3倍となる。

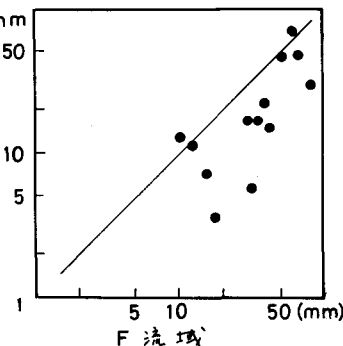


図-2 総損失雨量

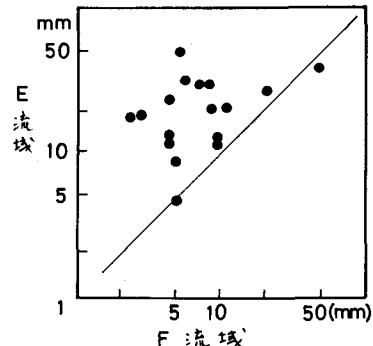


図-3 ピーク流量

3. 水田における流出特性

河川の流域面積中に水田の占める割合は、通常数%から十数%程度であり、20%をこえた珍しい場合も珍しくない。したがって、水田の割合の多い河川においては、水田の持つ雨水貯留能力を積極的に活用するこ

よりにより洪水調節を行なうことが可能であると考えられる。
 $y_i = 2^i$, $i = 1, 2, \dots$ は、水田からの流出特性を想定する式である。
 これを基にした。

(1) 水田からの流出の計算式

図-5に示すように、次々に水田から水田へと流出していく場合を考える。また、上端から i 番目の水田における連続運動の式は次式で

$$\frac{dh_i}{dt} = r_e + (g_{i-1} - g_i)/l_i \quad (3)$$

$$g_i = \frac{2}{3} C \frac{b}{B} \sqrt{2g H_i^3}, \quad (h_i \leq y_0)$$

$$= \frac{2}{3} C \frac{b}{B} \sqrt{2g} \left\{ h_i^{\frac{3}{2}} + \left(\frac{B}{b} - 1\right) (h_i - y_0)^{\frac{3}{2}} \right\}, \quad (h_i \geq y_0) \quad (4)$$

ここで、 g は単位幅当たりの流量（五流量）、 b は水深、 B は各水田の長さ×幅、 b は穴口の幅、 y_0 は穴口の深さ、 H は畦畔の高さ、 C は越流係数、添字 i は i 番目の水田を示す。上式を次の諸量
 $w = g/b$, $\eta = R/H$, $\eta_0 = y_0/H$, $g_0 = \frac{2}{3} C \sqrt{2g} H^{\frac{3}{2}}$, $R = r_e/g_0$
 $\tau = R e^{-t/H}$, $R e = g_0 L B / b$ (L は上端から下流端までの距離) を用いて無次元化すると

$$\frac{dh_i}{d\tau} = R + (w_{i-1} - w_i) \frac{L}{b} \quad (5)$$

$$w = \eta^{\frac{3}{2}}, \quad (\eta \leq 1), \quad w = \eta^{\frac{3}{2}} + \left(\frac{B}{b} - 1\right) (1 - \eta_0)^{\frac{3}{2}}, \quad (\eta \geq 1), \quad (6)$$

水田の個数 N が多くなり、 $N \rightarrow \infty$ になると、 $L/b \rightarrow 0$, $\tau = t/L$ となる。式(3)は $\frac{\partial \tau}{\partial t} + \frac{\partial w}{\partial \tau} = R$ (7)

式(7)は雨水路における不定流の式に一致する。また、 $R = R_0$ ($R = 1$) とする。式(6)の解 $\eta = \tau$ が得られる。

(2) 穴口の深さと到達時間

図-6は $N = \infty$ で $B/b = 50$ の場合について、 η_0 を 10^4 ラムネートーとしたとき w を示したもので、 $w = 1$ となるときの τ の値が到達時間である。図より、畦畔からの越流が起ると流量が急激に増大し、到達時間が短くなることわかる。

(3) 水田の数と流出特性

畦畔からの越流がない状態($\eta < 1$)で水田の数 N が変化する場合の w を示すと図-7のようである。図より、水田の数が少なければ流量の増加がゆるやかで貯留効果の大きいことをわかる。逆に多く、水田1個当たりの面積が大きいほど洪水の調節機能は大きいことわかる。

参考文献

1) 平野・伊東：到達時間の分布を考慮した流出解析、第22回水講(昭53)

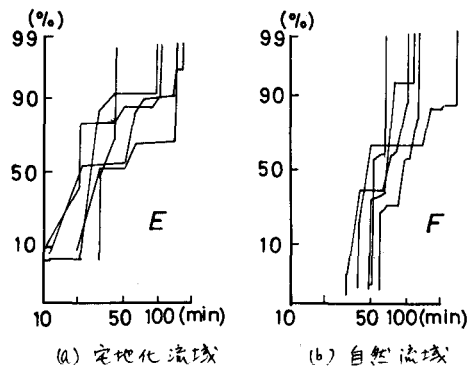


図-4 到達時間の分布

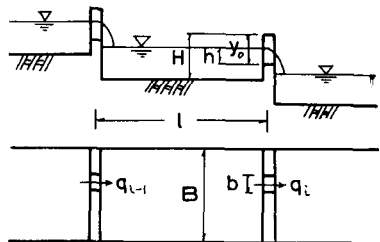


図-5 記号説明図

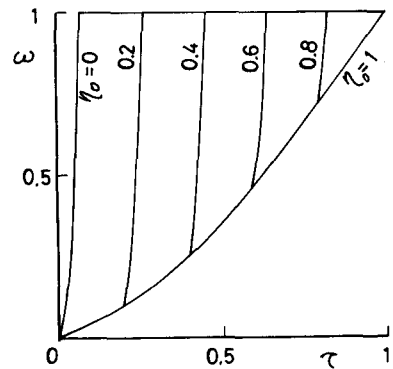


図-6 穴口深さと流出量

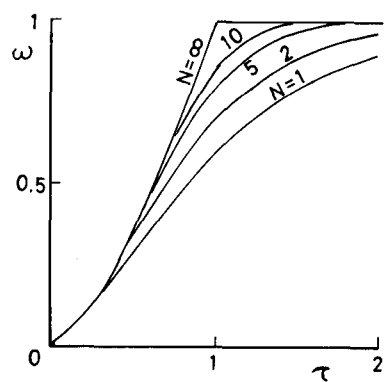


図-7 水田の数と流出量